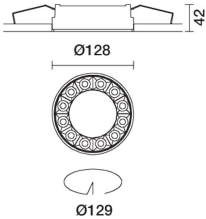
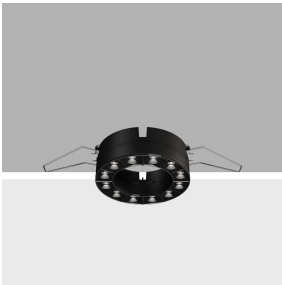


Blade R downlight

Dernière mise à jour des informations: Mai 2025

Configuration du produit: QS82
QS82: Mlnimal Ø 129 - Wide Flood beam - LED



Référence produit

QS82: Mlnimal Ø 129 - Wide Flood beam - LED

Description technique

Appareil annulaire formé de 12 éléments optiques pour sources LED - optiques fixes ; le système optique garantit un très haut confort visuel, sans éblouissements. Le corps comprend la surface radiante, en aluminium moulé sous pression. Version minimal (sans cadre) à ras de plafond. Pour l'installation de l'encastré sur le faux-plafond, l'adaptateur spécifique, disponible sous une référence séparée, est indispensable. Réflecteurs à haute définition en matière thermoplastique métallisée aux vapeurs d'aluminium sous vide, intégrés et positionnés en retrait par rapport à l'écran filtrant. Équipé d'une unité d'alimentation raccordée à l'appareil.

Installation

À encastrer avec ressorts en fil d'acier pour faux-plafonds de 12,5 à 25 mm - ouverture pour installation Ø 129.

Coloris

Blanc (01) | Noir (04) | Or (14)* | Chrome bruni (E6)*

Poids (Kg)

0.54

* Couleurs sur demande

Montage

encastré au plafond

Câblage

Sur l'unité d'alimentation avec bornier compris. Disponible en versions électroniques DALI.

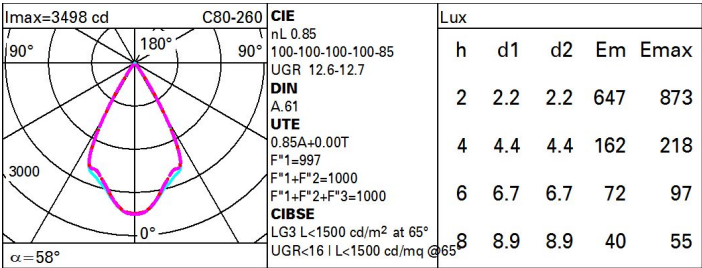
Conforme à la norme EN60598-1 et à la réglementation en vigueur (o "à la réglementation relative")



Données techniques

| | | | |
|--|------|--------------------------------------|---------------------------------|
| Im du système: | 2465 | Température de couleur [K]: | 4000 |
| W du système: | 26.8 | MacAdam Step: | 2 |
| Im source: | 2900 | Durée de vie LED 1: | > 50,000h - L80 - B10 (Ta 25°C) |
| W source: | 24 | Voltage [V]: | 230 |
| Efficacité lumineuse (lm/W, valeurs du système): | 92 | Code Lampe: | LED |
| Im en mode secours: | - | Nombre de lampes par groupe optique: | 1 |
| Flux total émis à un angle de 90° ou plus [Lm]: | 0 | Code ZVEI: | LED |
| Light Output Ratio (L.O.R.) [%]: | 85 | Nombre de groupes optiques: | 1 |
| Angle d'ouverture [°]: | 58° | Control: | DALI-2 |
| IRC (minimum): | 80 | | |

Polaire



Coefficients d'utilisation

| R | 77 | 75 | 73 | 71 | 55 | 53 | 33 | 00 | DRR |
|------|----|----|----|----|----|----|----|----|-----|
| K0.8 | 77 | 73 | 70 | 68 | 72 | 70 | 69 | 67 | 78 |
| 1.0 | 80 | 77 | 74 | 72 | 76 | 73 | 73 | 70 | 83 |
| 1.5 | 84 | 81 | 79 | 78 | 80 | 79 | 78 | 75 | 89 |
| 2.0 | 87 | 85 | 83 | 82 | 84 | 82 | 81 | 79 | 93 |
| 2.5 | 88 | 87 | 86 | 85 | 86 | 85 | 84 | 81 | 96 |
| 3.0 | 89 | 88 | 87 | 87 | 87 | 86 | 85 | 83 | 98 |
| 4.0 | 90 | 90 | 89 | 89 | 88 | 88 | 86 | 84 | 99 |
| 5.0 | 91 | 90 | 90 | 90 | 89 | 89 | 87 | 85 | 100 |

Courbe limite de luminance

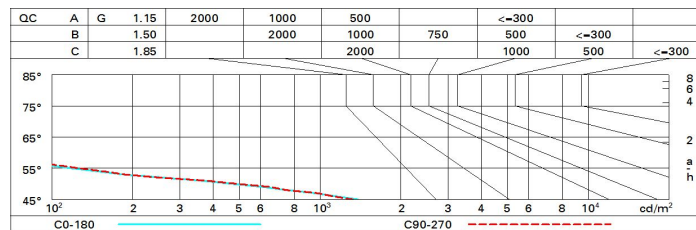


Diagramme UGR

| Corrected UGR values (at 2900 lm bare lamp luminous flux) | | | | | | | | | | | |
|---|-----|------------------|--------------|------|------|------|----------------|------|------|------|------|
| Reflect.: | | viewed crosswise | | | | | viewed endwise | | | | |
| ceiling/cav | | 0.70 | 0.70 | 0.50 | 0.50 | 0.30 | 0.70 | 0.70 | 0.50 | 0.50 | 0.30 |
| walls | | 0.50 | 0.30 | 0.50 | 0.30 | 0.30 | 0.50 | 0.30 | 0.50 | 0.30 | 0.30 |
| work pl. | | 0.20 | 0.20 | 0.20 | 0.20 | 0.20 | 0.20 | 0.20 | 0.20 | 0.20 | 0.20 |
| Room dim | | | | | | | | | | | |
| x y | | | | | | | | | | | |
| 2H | 2H | 13.2 | 13.7 | 13.4 | 14.0 | 14.2 | 13.3 | 13.9 | 13.6 | 14.1 | 14.4 |
| | 3H | 13.0 | 13.5 | 13.3 | 13.8 | 14.1 | 13.2 | 13.7 | 13.5 | 14.0 | 14.3 |
| | 4H | 12.9 | 13.4 | 13.3 | 13.7 | 14.0 | 13.1 | 13.6 | 13.4 | 13.9 | 14.2 |
| | 6H | 12.9 | 13.3 | 13.2 | 13.6 | 14.0 | 13.0 | 13.5 | 13.4 | 13.8 | 14.1 |
| | 8H | 12.8 | 13.3 | 13.2 | 13.6 | 13.9 | 13.0 | 13.4 | 13.4 | 13.8 | 14.1 |
| | 12H | 12.8 | 13.2 | 13.2 | 13.5 | 13.9 | 13.0 | 13.4 | 13.3 | 13.7 | 14.1 |
| 4H | 2H | 12.9 | 13.4 | 13.3 | 13.7 | 14.0 | 13.1 | 13.6 | 13.4 | 13.9 | 14.2 |
| | 3H | 12.8 | 13.2 | 13.2 | 13.5 | 13.9 | 13.0 | 13.4 | 13.3 | 13.7 | 14.1 |
| | 4H | 12.7 | 13.1 | 13.1 | 13.4 | 13.8 | 12.9 | 13.2 | 13.3 | 13.6 | 14.0 |
| | 6H | 12.6 | 12.9 | 13.0 | 13.3 | 13.7 | 12.8 | 13.1 | 13.2 | 13.5 | 13.9 |
| | 8H | 12.6 | 12.9 | 13.0 | 13.3 | 13.7 | 12.7 | 13.0 | 13.2 | 13.4 | 13.9 |
| | 12H | 12.5 | 12.8 | 13.0 | 13.2 | 13.7 | 12.7 | 12.9 | 13.1 | 13.4 | 13.8 |
| 8H | 4H | 12.6 | 12.9 | 13.0 | 13.3 | 13.7 | 12.7 | 13.0 | 13.2 | 13.4 | 13.9 |
| | 6H | 12.5 | 12.7 | 12.9 | 13.2 | 13.6 | 12.6 | 12.9 | 13.1 | 13.3 | 13.8 |
| | 8H | 12.4 | 12.6 | 12.9 | 13.1 | 13.6 | 12.6 | 12.8 | 13.1 | 13.3 | 13.8 |
| | 12H | 12.4 | 12.5 | 12.9 | 13.0 | 13.5 | 12.5 | 12.7 | 13.0 | 13.2 | 13.7 |
| 12H | 4H | 12.5 | 12.8 | 13.0 | 13.2 | 13.7 | 12.7 | 12.9 | 13.1 | 13.4 | 13.8 |
| | 6H | 12.4 | 12.6 | 12.9 | 13.1 | 13.6 | 12.6 | 12.8 | 13.1 | 13.3 | 13.8 |
| | 8H | 12.4 | 12.5 | 12.9 | 13.0 | 13.5 | 12.5 | 12.7 | 13.0 | 13.2 | 13.7 |
| Variations with the observer position at spacing: | | | | | | | | | | | |
| S = | | 1.0H | 6.8 / -31.1 | | | | 6.8 / -31.1 | | | | |
| | | 1.5H | 9.6 / -40.3 | | | | 9.6 / -42.0 | | | | |
| | | 2.0H | 11.6 / -51.6 | | | | 11.6 / -48.9 | | | | |